

## Photo TRIAC的特性与应用介绍

### 1. 功能说明

Photo Triac 为一无接点的开关器件，它可以用微小的讯号（几毫安到几十毫安）控制三端双向可控硅(Triac)的接通和分断，输入端与输出端之间采用光电隔离，输入端加上直流或脉冲讯号，输出端就能从断态转换成通态，Photo Triac Driver 分成零点触发(Zero-cross)和任意相位触发(Random-Phase)两种类型。

### 2. 三端双向交流开关(TRIAC)的工作原理

三端双向交流开关(TRIAC)是由双向晶闸管(bidirectional thyristor)所组成，代替两个反极性并联的晶闸管(thyristor)，并使用一个触发电路，是目前比较理想的交流开关器件。双向晶闸管可以双向导通，即闸极(Gate; G)加上正或负的触发电压，均能触发双向晶闸管正、反两个方向导通。与单向晶闸管相比较，双向晶闸管的主要的区别是触发之后为双向导通；触发电压不分极性，只要绝对值达到触发门限值即可导通。其内部结构和符号如图 1 所示。

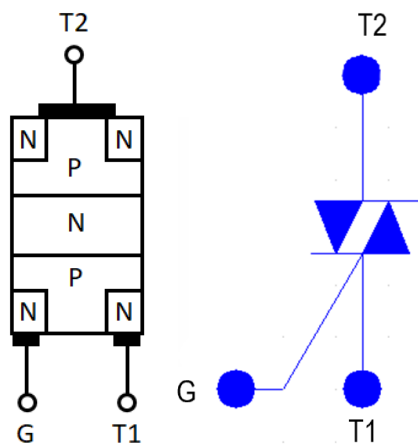


图 1. 双向晶闸管内部结构和符号图

因为 TRIAC 是双向组件，当闸极电流 $I_G$ 不论极性为何，只要 $T_1$ 与 $T_2$ 间电压小于其额定转态电压时，TRIAC 处于截止状态。两阳极间只有少量的漏电流通过，当闸极电压大于转态电压，TRIAC 为低电阻，电流上升则端电压下降呈现导通状态，一旦转态导通，闸极不再有控制作用。在移去闸极信号后，以下三种方式可将 TRIAC 截止：

- (1)中断两端点( $T_1$ 和 $T_2$ )的电压(开路或短路)。
- (2)改变两端点( $T_1$ 和 $T_2$ )的电压极性(如使用交流电则会自动截止)。
- (3)将导通的电流降低至维持电流 $I_H$ 以下(可参考图 2)。

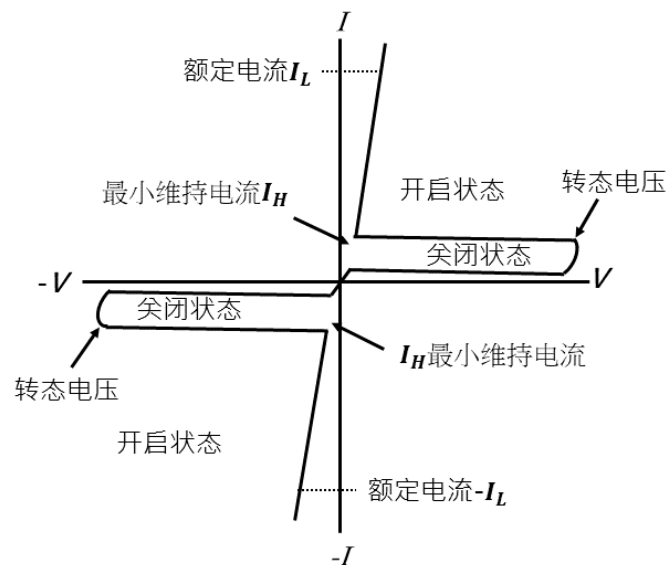


图 2. TRIAC 特性曲线图

### 3. Photo TRIAC Driver 的种类

#### 3.1 零点触发 (Zero-Cross, ZC)

一般用于交流电源控制，例如继电器 (Relay) 驱动、交流开关等应用，因交流电源电压较高，在输出功率较大时，开关的瞬间会有火花产生，进而影响开关、继电器等这类有接点的设备寿命，火花会使接点碳化，导致接点阻抗升高，恶性循环的情况下，造成接点接触不良，就很容易发热，也就越容易失效。零点触发(ZC)，就是在零的交越处，去驱动外部的接点，因火花产生的原因来自于电流，而电流的产生来自于有电压，又因交流电有正负周期的关系，以 60Hz 的交流电来说，每秒钟会有 60 个零交越点，在零点的时候即代表电压为 0V，故此时不会有电流产生，亦即这时导通或关闭开关时，是最不容易产生火花的时候，所以零交越电路所在做的就是在零点的时候，触发开关导通。

通常会使用零点触发的目的，是为了要延长开关接点的寿命，所以在 relay 上应用零交越是很常用的一种设计，但是因为 relay 通常动作的时候激磁会有反应时间，这种时间是没办法控制的，且通常都是毫秒内，对于在零点切换几乎是不可能的事情。因 TRIAC 导通时间较短也较容易控制，故可用 TRIAC 取代 relay 做开关控制。

零交越的动作时序应为：

- (1)触发零交越 IC 使 TRIAC 导通。
- (2)Relay 开启或放开。
- (3)解除零交越。

因输出只在正弦波的零点才会动作或复归，可避免突波或 EMI / RFI ，特别适用于控制阻抗性、电容性和不饱和感抗性负载，图 3 为操作时的波形变化。

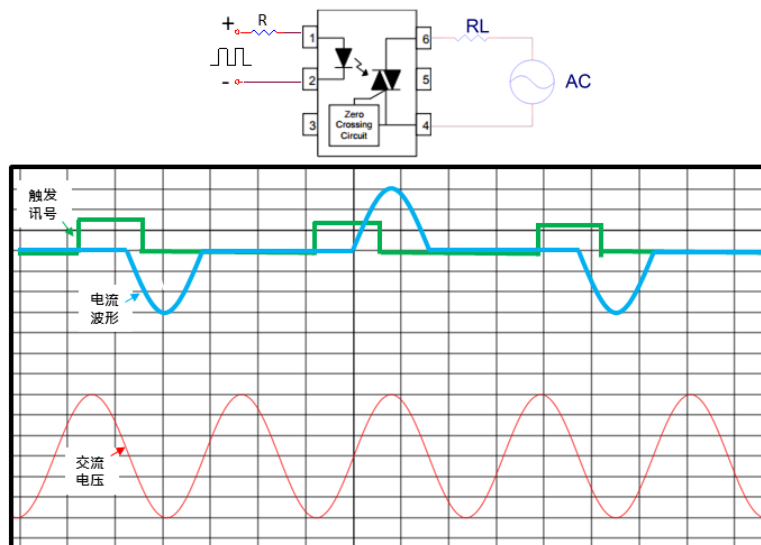


图 3 . Zero Crossing 操作时的波形变化

### 3.2 随机相位触发 (RANDOM-PHASE, RP)

可应用于电磁阀控制、灯具整流器、交流电开关、微处理器与交流电外设的接口，固态继电器、白炽灯调光器、温度控制器及马达控制等，和过零触发的差别在于，它允许在交流正弦电压的任何一个时刻启动输出，控制 TRIAC 的触发角来决定输出功率，各类的调压模块或固态继电器内部作为输出触点的器件均为可控硅，而且都是依靠改变可控硅导通角来达到调压的目的，故输出的电压波形均为缺角的正弦波，因此存在高次谐波，有一定的噪声，具有较强的抗静态电压上升率(dv/dt)的能力，能够保证对感性负载的开/关控制，图 4 为操作时的波形变化。

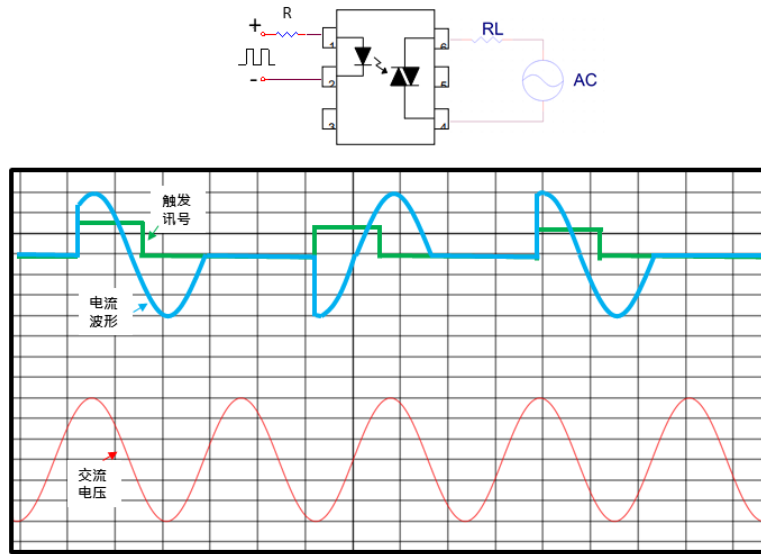


图 4. Random Phase 操作时的波形变化

#### 4. 静态电压上升率 (dv/dt)

图 5 为静态 dv/dt 测试电路，开启待测器件 (D.U.T)，同时使用 High Voltage Pulse Source 施加足够的 dv/dt，以确保在触发电流断开后，TRIAC 仍保持导通状态，随后降低 dv/dt，直到 D.U.T 关断。测量上升至  $0.632V_{PEAK}$  所需的时间  $\tau_{RC}$ ，然后用  $0.632V_{PEAK}$  除以  $\tau_{RC}$  得到 dv/dt。

$$dv/dt = \frac{0.632 \times V_{PEAK}}{\tau_{RC}}$$

Static dv/dt Test Circuit & Waveform

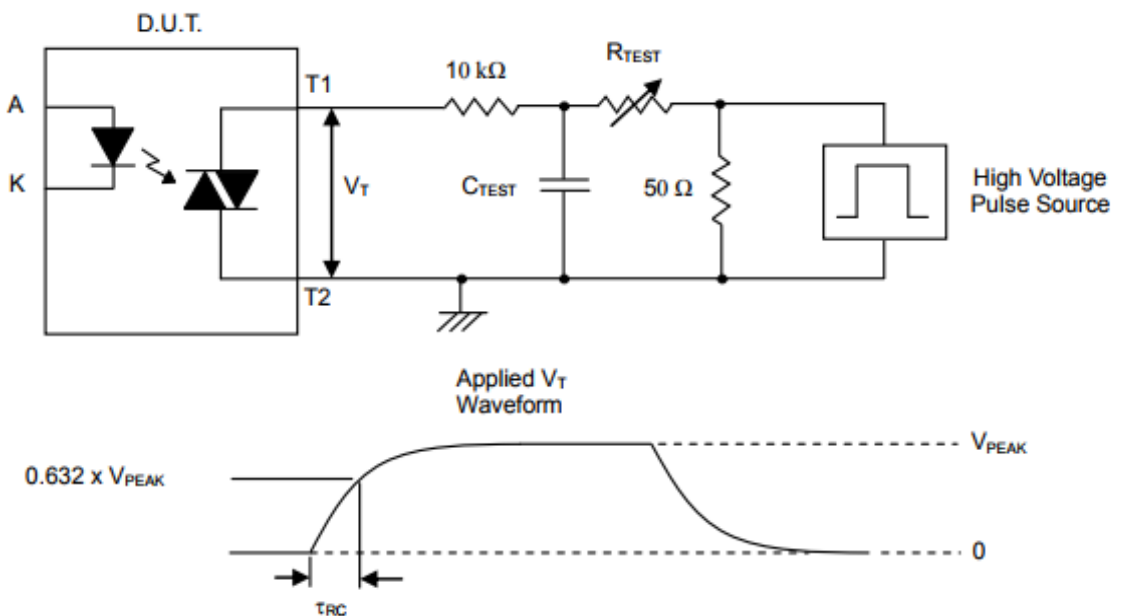


图 5. 静态 dv/dt 测试电路

以 EL306X series 为例，将  $V_{PEAK}=600V$  套入公式，我们可以得到  $dv/dt$  的值。

$$dv/dt = \frac{0.632 \times 600}{\tau_{RC}} = \frac{379.2}{\tau_{RC}}$$

## 5. Photo TRIAC Driver 基本触发电路

图 6 为 Photo TRIAC Driver 基本触发电路，Photo TRIAC 主要是利用输入端的红外光去触发 TRIAC，其中  $I_{FT}$  是表示驱动 TRIAC 所需的最小电流。以 EL3031 为例：当  $I_F=15mA$  时，输出端会导通，即使  $I_F$  下降至  $15mA$  以下时，输出端依然是导通状态，直到流过 TRIAC 的电流降至  $I_H$  以下后，TRIAC 才会断开。而当输出端电压高于 TRIAC 两端的正向阻断电压  $V_{DRM}$  也会导通，另外交流常见的瞬变或噪声等,如果超过静态电压上升率  $dv/dt$  的额定值，也有可能触发 TRIAC，为了防止误触，通常会加上缓冲器(Snubber circuit)。

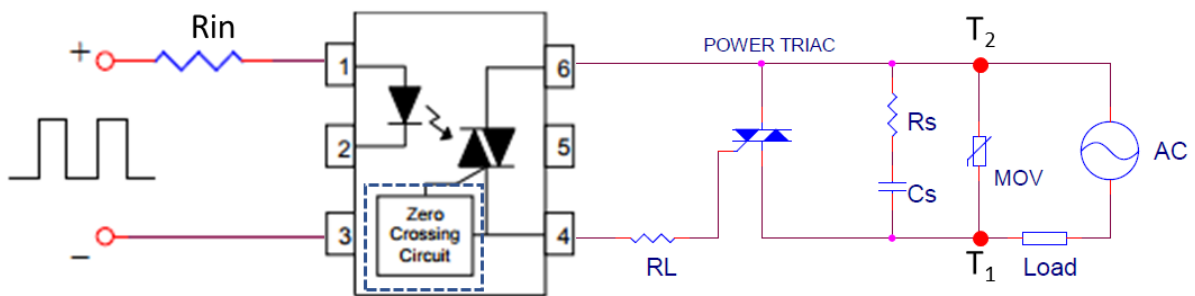


图 6. Photo TRIAC Driver 基本触发电路

若负载为电阻性负载，电路中的电压和电流同相，当电流为零，会达到零功率点，此时电压为零，TRIAC 可轻易的变为 OFF。若负载为电抗性（电感或电容），因电路的电压和电流异相，故 TRIAC 切为 OFF 的方式跟电阻性负载不同。考虑类似马达的电感性负载，此电路的电流落后于电压，当电流变为零，电压不为零并且施加于 TRIAC 两侧，此电压可能将 TRIAC 转为 ON，造成误触发。除了电感性负载，静态电压通常伴随噪声，而其值也可能将组件转为 ON。闸流体是由 PN 接面制成，当不导通时，这些接面具有空乏区。空乏区为绝缘体，可视为电容的介电层。这些电容会对在静态时的急速电压改变有所反应，并且引入充电电流。而此充电电流可以当作闸极电流，并将组件转为 ON，因此造成了误触发。

缓冲电路可以减少在 TRIAC 控制电路中的误触发。把电容抗拒电压改变的特性用在 RC 缓冲电路。RC 电路在 TRIAC 的 T2 和 T1 间连接。缓冲电路将充电电流由非导通时的闸流体分流出来。

## 5.1 零点触发(Zero-Cross)

图 7 为零点触发(Zero-Cross)的基本触发电路,  $R_L$ 为阻性负载时, 因电流受限于 Power TRIAC 的 Gate 触发电流( $I_{GT}$ ), 故可不须电阻 R; R 主要是应用在电感性负载应用中, 防止 TRIAC Driver 可能造成的破坏。

如果限流电阻 R 的值过高, 可能会造成 TRIAC 错误的相位控制, 如果 TRIAC 在峰值电压附近进入非导通状态, 并且缓冲器电容对 TRIAC 放电, 电阻 R 可限制流过 TRIAC Driver 的电流。电阻 R 的计算方式: 假设电压为 110V 有效值, 最大峰值驱动电流等于 1A, 可以计算出 R 值。

$$R = \frac{V_{Peak}}{I_{Peak}} = \frac{110\sqrt{2}}{1} = 155 \text{ ohm} \text{ 可以选择较常用的电阻值 } 160\text{ohm}.$$

$R_G$ 只有在 Power TRIAC 或 SCR 的内部 Gate 阻抗极高时才需要, 如果没有 $R_G$ , 抗噪性能和热稳定性会非常差,  $R_G$ 的阻值范围为 100~500ohm,  $R_G$ 会增加 $I_{GT}$ 电流, 而 $R_G$ 和 R 一起使用, 会造成过零时间与 Power TRIAC 触发时间之间的非预期延迟或相移。

Power TRIAC 需要特定的触发电流( $I_{GT}$ )和触发电压( $V_{GT}$ )才能使其导通,  $T_1$ 和 $T_2$ 两端点之间有最小线路电压 $V_T$ , 即使 TRIAC Driver 已被触发为导通状态。最小线路电压 $V_T$ 的值为触发电路中所有压降相加得到:

$$V_T = V_R + V_{TM} + V_{GT}$$

电流 I 除了( $I_{GT}$ )之外, 还包含了流过 $R_G$ 上的电流。

$$I = I_{RG} + I_{GT}$$

将 Power TRIAC 所需的 Gate 触发电压 $V_{GT}$ 除以 $R_G$ 可以得到 $I_{RG} = \frac{V_{GT}}{R_G}$

$$\text{所以, } I = \frac{V_{GT}}{R_G} + I_{GT}, V_R = I \times R = \left(\frac{V_{GT}}{R_G} + I_{GT}\right)R$$

$V_{GT}$ 和 $I_{GT}$ 可由 Power TRIAC 的规格书上得知,  $V_{TM}$ 由 TRIAC Driver 的规格书上得知, 因此可以知道 R 和 $R_G$ 决定于 $V_T$ 的值。

在 $V_T$ 已知的情况下, 非预期相位延迟角度 $\theta_d$ 以及触发延迟时间 $t_d$ 可由下式求得:

$$\theta_d = \sin^{-1} \frac{V_T}{V_{peak}} = \sin^{-1} \frac{R(V_{GT}/R_G + I_{GT}) + V_{TM} + V_{GT}}{V_{peak}}$$

$$t_d = \frac{\theta_d}{90} \times \frac{1}{4} f$$

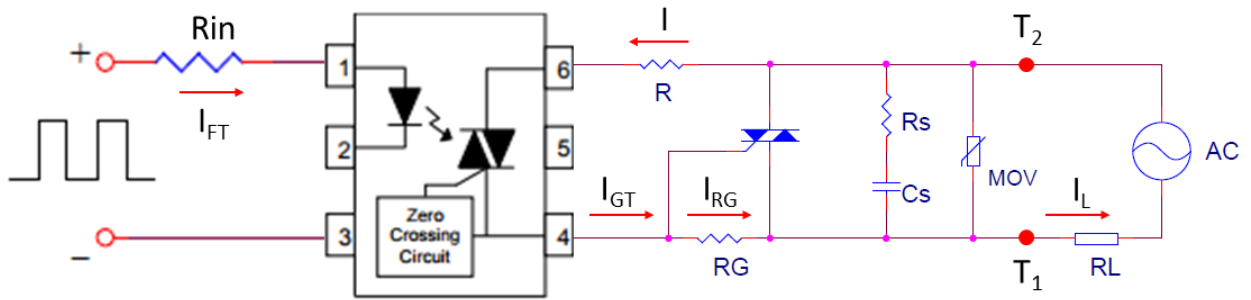


图 7. Zero Crossing 基本电路

## 5.2 随机相位(RANDOM-PHASE)

在任何相位都可让输出端导通，但一样会在下一个线路电压过零处关闭，比较要注意的是，因为在任意相位都能触发，会造成瞬变电压干扰。针对 Power TRIAC 的选择，需要注意工作的电压以及可能会产生的浪涌电压，应选择高于耐受度高于此电压的组件，如果是白炽灯，应使用保险丝保护 Power TRIAC，或使用额定值高的组件，避免峰值电流过高而损坏组件。当交流线路上产生瞬变电压干扰并超过组件静态  $dv/dt$  额定值时，会造成 TRIAC Driver 所触发的 Power TRIAC 被误触而导通，但一般情况下 Power TRIAC 会在下一个过零点时被关闭，大部份负载可承受这种偶发性半个周期的功率。

电感性负载(电机、电磁阀、磁体...等)，对 Power TRIAC 和 TRIAC Driver 来说，因为电压和电流异相，而 TRIAC 会在零电流时会关掉。故当电流为零且施加的电压为高电压时，对于 TRIAC 来说，上升速率超过 Power TRIAC 的  $dv/dt$  或者 TRIAC Driver 的静态  $dv/dt$ ，TRIAC 就会导通。为了用缓冲器电路来降低电压上升率。有时候会在 Power TRIAC 和 TRIAC Driver 都加上缓冲器，要正确的设计缓冲器，须配合电抗性负载的功率因子(PF)。

**本应用手册提供客户设计参考，若有设计变更可能造成系统性性能降低，若有机构设计上的问题请与亿光电子联系取得进一步技术支持。**